酸化的付加

$$L_nM^n + A-B \longrightarrow ML_n \xrightarrow{n+2} Oxidative addition$$

$$ML_n$$
 $\stackrel{A}{\longrightarrow}$
 $L_nM^n + A-B$ Reductive elimination

二核錯体上での酸化的付加

酸化的配位

$$L_{n}M^{n} + H^{+} \longrightarrow [L_{n}M^{n+2} - H]$$

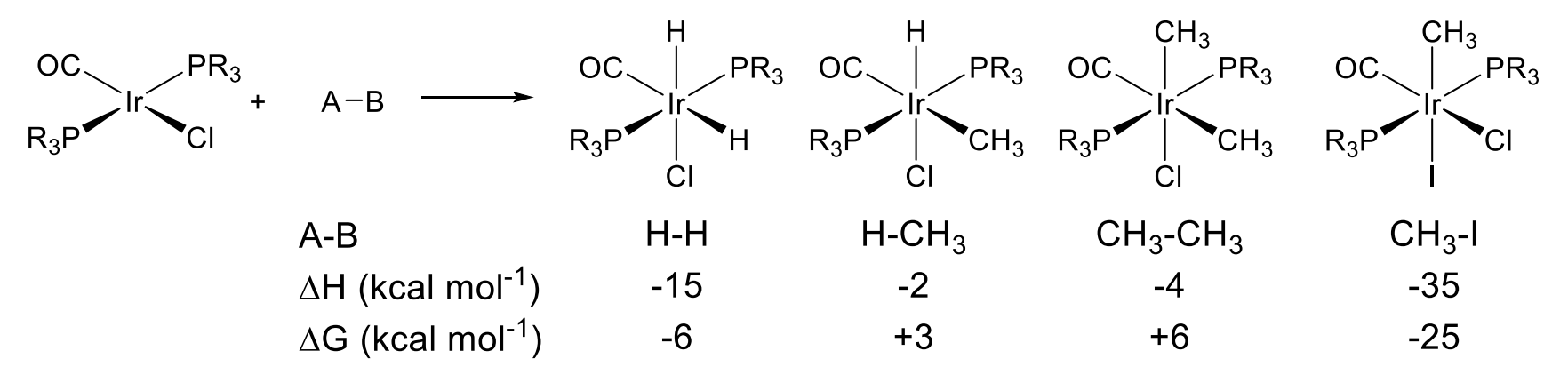
$$L_{n}M^{n} + O_{2} \longrightarrow ML_{n}^{n+2} \bigcirc$$

求電子剤の配位により形式的に金属が酸化される。 (結合の切断が進行しない点で、酸化的付加と区別)

傾向

- 1. 電子豊富な金属中心の方が有利。
- 2. 立体的に空いている金属中心の方が有利
- 3. 非極性結合の酸化的付加では、空の配位座が必要。また、酸化的付加では価電子数が2つ増えるので、16電子以下である必要がある。18電子錯体の場合は配位子の脱離が進行する。
- 4. 酸化的付加は配位子の脱離過程を含むことあり、反応速度に影響を及ぼす。配位子が強固に配位している場合には遅くなることがある。例えば、二座配位子vs単座配位子。

熱力学的パラメーター



Ir-H (60 kcal/mol), Ir-CH₃ (46 kcal/mol), Ir-I (45 kcal/mol)

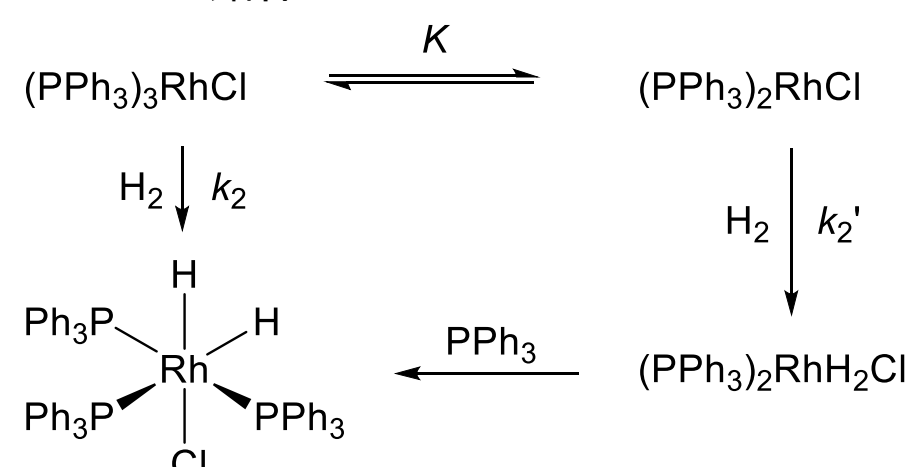
H₂, CH₃I 熱力学的に有利 CH₄, CH₃CH₃ 熱力学的に不利

水素の酸化的付加

- 水素分子の酸化的付加は温和な条件で進行酸化的付加活性化エネルギー 40 kJmol⁻¹以下(H-H結合解離エネルギー 432 kJmol⁻¹)
- H₂のside-on配位 (分子水素錯体)
- · cis付加で進行
- ・ 遷移状態は始原系に近い 速度論的同位体効果 k_H/k_D = 1.48

PtL2とH2の酸化的付加

Wilkinson錯体



Willkinson錯体:(PPh₃)₃RhCl 高活性な水素化触媒

Rh(PPh3)3ClまたはRh(PPh3)2Clで進行。 Rh(PPh₃)₂CIの反応が10⁴倍速い PPh₃濃度に依存 低濃度では14電子錯体を経由

Vaska錯体

$$H_2$$
 (PPh₃)₂(CO)IrX (PPh₃)₂(CO)IrXH₂
rate: X = I (100) > Br (14) > CI (1)

Vaska錯体への水素の酸化的付加は可逆反応。 ヒドリド錯体を減圧下にさらすとIr(I)錯体が再生。 反応速度 (X = I > Br > CI) は金属の電子密度の高さ (CI > Br > I) と逆の傾向。

ハライド配位子から金属へのπ電子供与性が小さい方 が、Hっと相互作用しやすくなるため。

立体化学 Ph_2 CO H-H CO

$$Ph_2$$
 Ph_2 Ph_2

二核錯体上での水素の酸化的付加

$$Co(CN)_5^{3-} + H_2 \longrightarrow 2 HCo(CN)_5^{3-}$$

2つのポルフィリンを連結。

シランの酸化的付加

C-H結合の酸化的付加

$$L_{n}M + H-CH_{2}R \longrightarrow L_{n}M- \begin{matrix} H \\ CH_{2}R \end{matrix} \longrightarrow L_{n}M \begin{matrix} H \\ CH_{2}R \end{matrix}$$

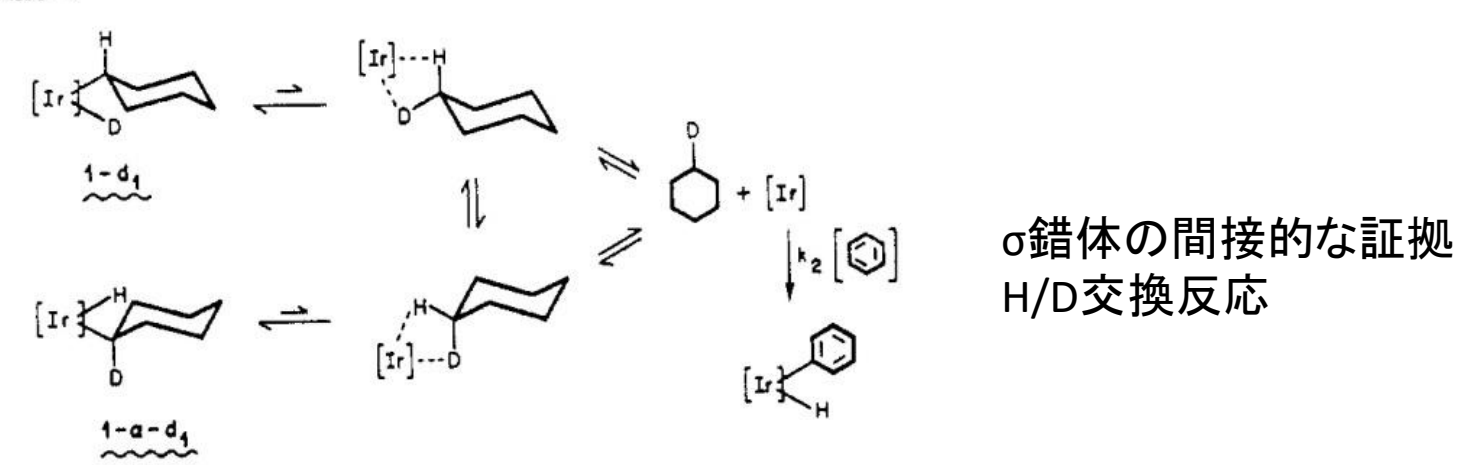
$$\sigma\text{-complex}$$

$$M \longrightarrow \begin{pmatrix} C \\ H \end{pmatrix} \qquad M \longrightarrow \begin{pmatrix} C \\ H \end{pmatrix}$$

$$d_{\pi} \longrightarrow \begin{pmatrix} C \\ H \end{pmatrix}$$

配位不飽和錯体とアルカンがσ-錯体を形成する。 C-H結合性軌道とd軌道、C-H反結合性軌道とのπ結合との間の相互作用。

Scheme V



C-H結合の酸化的付加

白金錯体によるアルカンのH/D交換反応、酸化、ハロゲン化

$$R-H \xrightarrow{\begin{array}{c} K_2PtCl_4\\ D_2O,\ DOAc \end{array}} R-D$$

$$R-D$$

$$K_2PtCl_4,\ H_2PtCl_6$$

$$CF_3CO_2H \xrightarrow{\begin{array}{c} CF_3CO_2H \end{array}} R-CI$$

$$100\ ^{\circ}C$$

アルカンの脱水素反応

分子内C-H酸化的付加

分子間C-H酸化的付加

Chatt and Davidson (1965)

Janowicz and Bergman (1982) / Hoyano and Graham (1982)

G. M. Whitesides (1988)

$$\begin{array}{c|c}
Cy_2 \\
P \\
Pt \\
Cy_2
\end{array}$$

$$\begin{array}{c|c}
Cy_2 \\
P \\
Pt \\
Cy_2
\end{array}$$

$$\begin{array}{c|c}
Cy_2 \\
P \\
Pt \\
Cy_2
\end{array}$$

$$\begin{array}{c|c}
Cy_2 \\
P \\
Pt \\
Cy_2
\end{array}$$

J. Am. Chem. Soc. 1988, 110, 1449

アレーンのC-H結合の付加は、アルカンよりも速度論的、熱力学的に有利

アルカンの酸化的付加の選択性

$$K_{eq}$$
 K_{eq}
 Me_3P
 H
 K_{eq}
 Me_3P
 H
 K_{eq}
 Me_3P
 H

Activation/Reductive Elimination of Alkanes at Iridium

J. Am. Chem. Soc., Vol. 108, No. 7, 1986 1541

Table IV. Equilibrium Constants for Alkane Exchange Reactions ([Ir] = [Cp*(PMe₃)Ir])

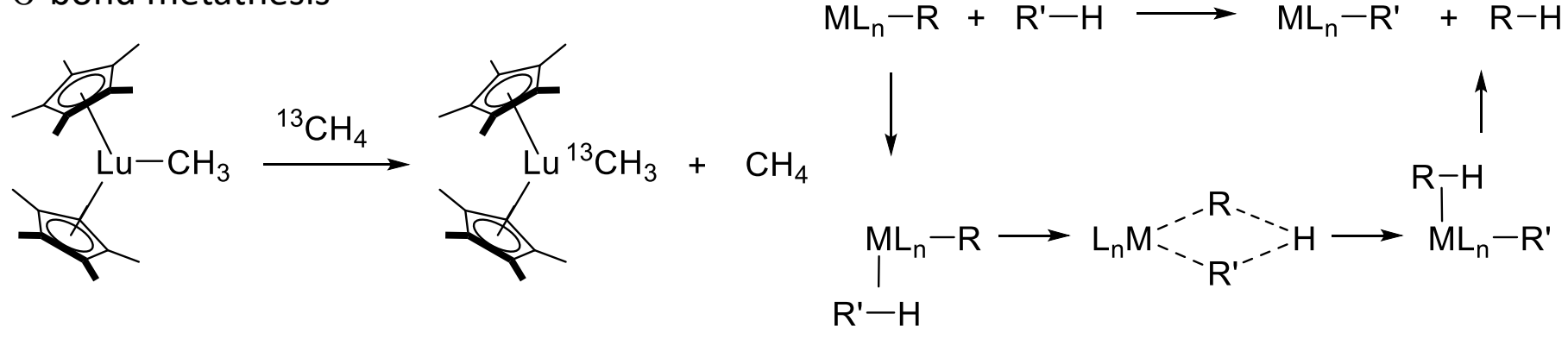
equilibrium	K _{eq} (140 °C)	ΔG° (140 °C), kcal/mol
(1) (Ita) + \ \	3.5	-1.0
(2) (Lo) ← + ← ← ← ← ← ← ← ← ← ← ← ← ← ← ← ← ←	1.5	-0.3
$(3) \text{(Ir)} \longleftrightarrow + \bigcirc \Rightarrow \text{(Ir)} \longleftrightarrow + \bigcirc$	2.0	-0.6
(4) (II) +	$10.8 \ (10.5)^b$	$-2.0 \ (-1.9)^b$
(5) (Ir) \(\square \equiv (Ir) \)	≥20	≤-2.5

^aTwo diastereomers of coincidentally equivalent energies. ^b Values in parentheses calculated from data for first three equilibria.

- · C-H結合の酸化的付加では一級のC-H結合が選択的に切断される。
- 末端のアルキル錯体は、分岐アルキル錯体よりも熱力学的に安定。
- アリール錯体はアルキル錯体よりも安定。

その他のC-H結合切断の反応機構

 σ -bond metathesis



σ結合メタセシスはd⁰金属、ランタニド、アクチニドーアルキル錯体で進行する。配位不飽和種に水素、 炭化水素などが配位してσ-錯体を形成する。四中心遷移状態を形成し、結合の組み換えが起こる。

金属-配位子多重結合への[2+2]付加(イミドM=N、カルベンM=C)

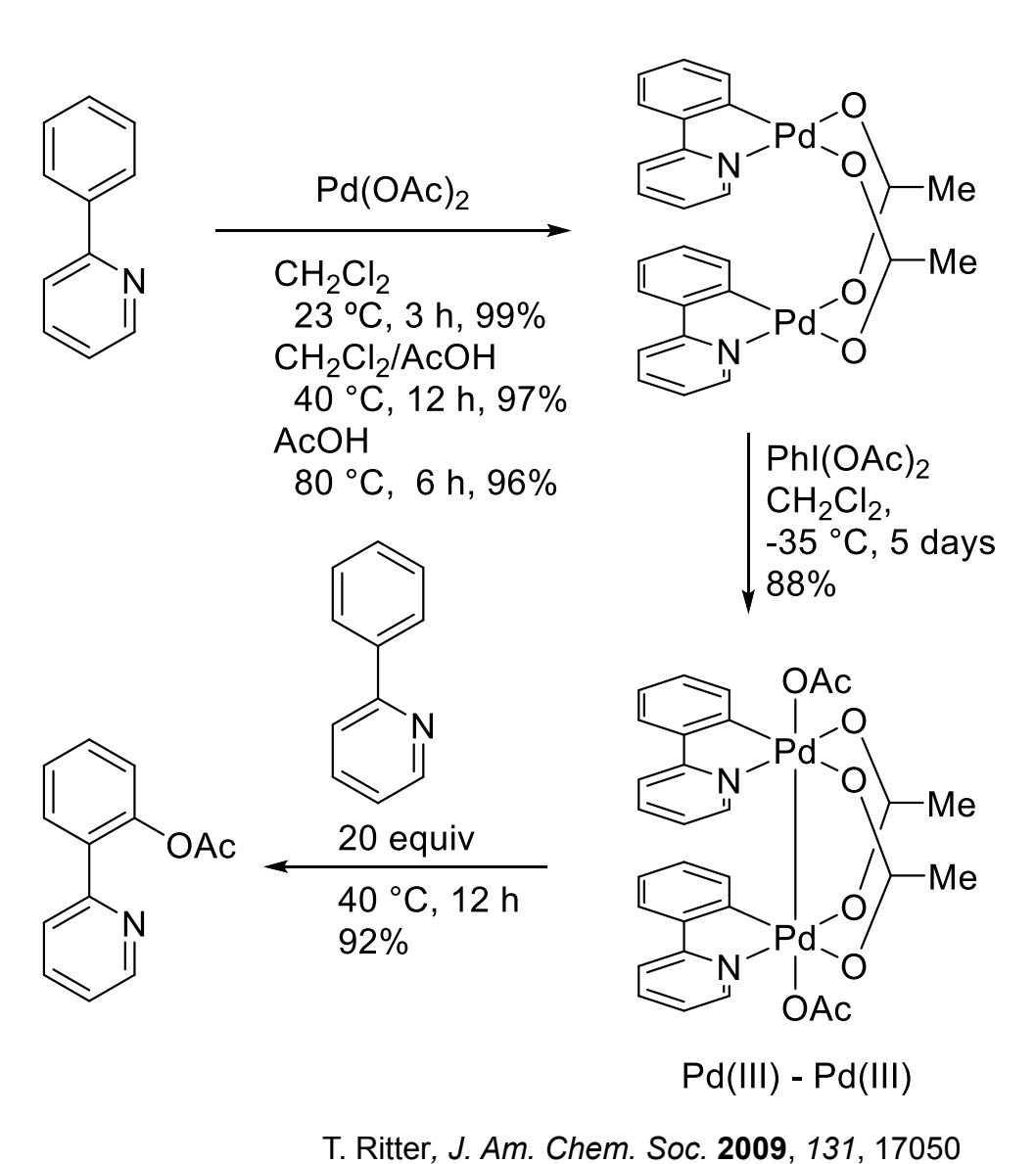
M=N 結合
$$Ti = NtBu + CH_4$$

$$PiPr_2$$

$$N = C + CHPh$$

$$N = CH$$

Pd(OAc)っによるC-H 結合活性化



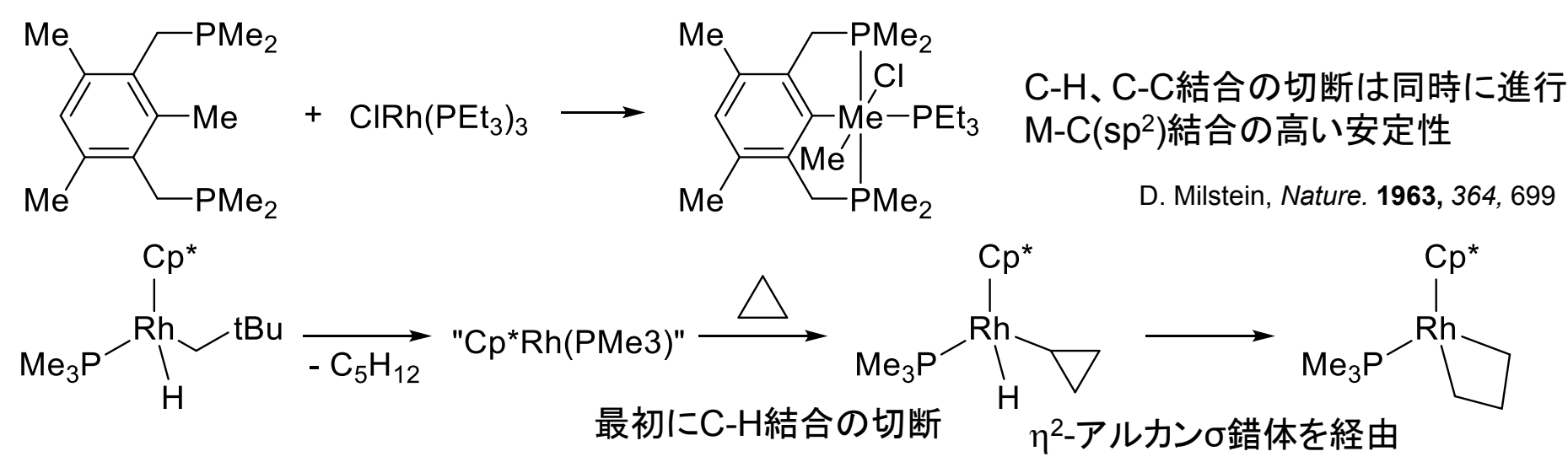
Concerted Metallation Deprotonation機構

An agostic C-H complex

D. L. Davies, S. A. Macgregor, *J. Am. Chem. Soc.* **2005**, 127, 13754

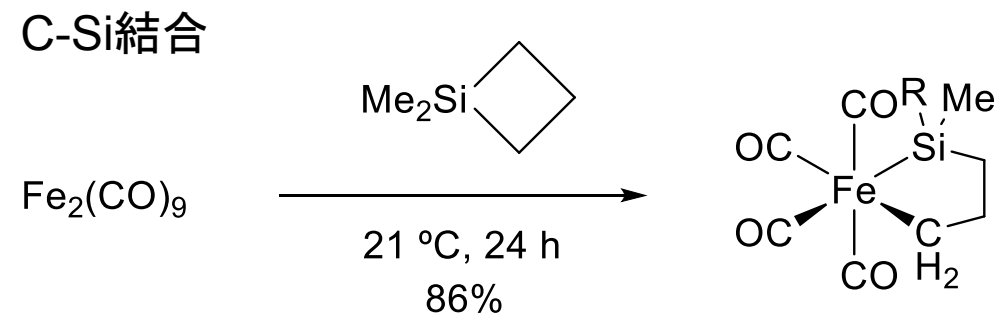
C-C, C-Si結合の酸化的付加

C-C結合



R. G. Bergman, J. Am. Chem. Soc. 1986, 108, 1346

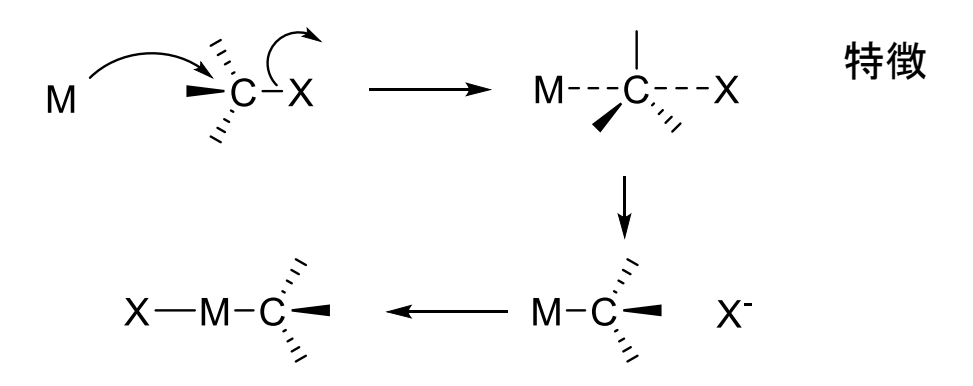
W. D. Jones, J. Am. Chem. Soc. 2002, 124, 9547



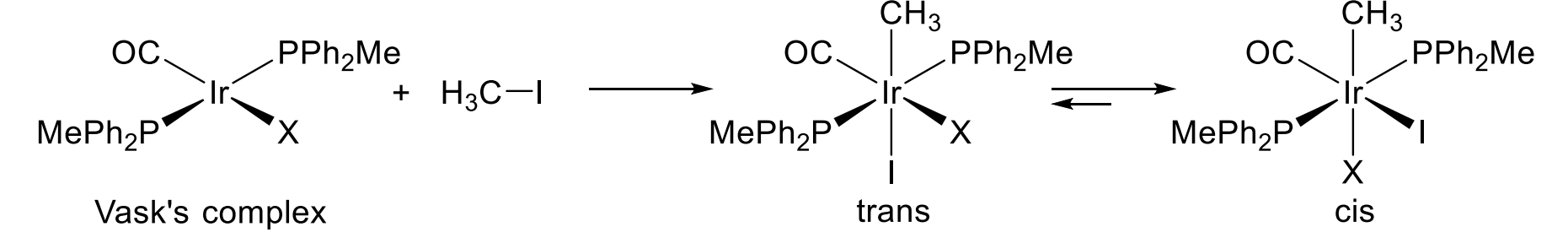
Michael F. Lappert, J. Organomet. Chem. 1972, 44, 291

S_N2 機構

遷移金属によるアルキルハライドの酸化的付加



Vask's錯体の例



X	solvent	<i>k</i> , M ⁻¹ s ⁻¹	ΔH^{\ddagger}	ΔS^{\ddagger}
CI	benzene	2.6 x 10 ⁻³	5.6	-51
CI	DMSO	2.8 x 10 ⁻²	16.4	-10
Br	benzene	1.2 x 10 ⁻³	7.6	-46
1	benzene	0.64 x 10 ⁻³	8.8	-43

- 速度論的にはtrans付加体が生成
- ラジカル捕捉剤の影響を受けない。
- 反応速度は極性溶媒中で加速。
- ・ ハロゲン配位子の影響を受ける。

S_N2 機構

立体反転

溶媒、脱離基、基質の影響

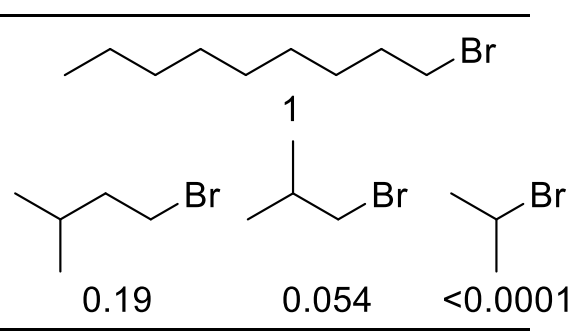
effect of solvent	(X =	Br)
-------------------	------	-----

solvent (polarity)	ΔG^{\ddagger} , kcal/mol	
hexane (0.68)	>23.0	
toluene (1.66)	20.0	
THF (2.08)	19.5	
DMF (2.80)	17.8	

effect of leaving group (X = Br)

X	t _{1/2}
I	2.2 h at -60 °C
Br	2.3 at 0 °C
CI	2 d at 60 °C
OTs	10.4 h at 40 °C

effect of substrates



1電子機構

電子移動が起こり、ラジカルが溶媒にかこまれたケージ(かご)の中で短時間生成。酸化的付加生成物R-M-XはS_N2機構の生成物と同じであるが、ラセミ化が進行。フリーラジカルが生じるとラジカルカップリング、金属への結合が起こる。

$$Ni(PEt_{3})_{4} \longrightarrow Ni(PEt_{3})_{3} \xrightarrow{ArX} \left[\left[Ni(PEt_{3})_{3} \right]^{+} \left[ArX \right]^{-} \right] \longrightarrow Ar - Ni - X$$

$$V \mapsto Ar + Ar$$

Outer-sphere electron-transfer 機構

$$L_nM$$
 + RX — L_nM^+ + RX outer-sphere E.T.

RX RX RX RY RY SEL RY S

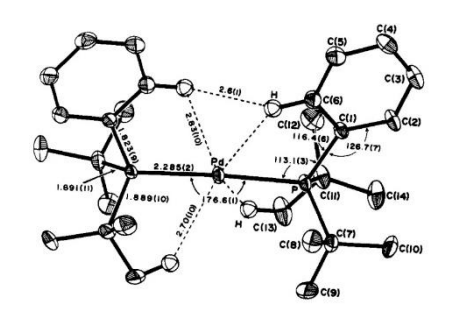
Paul J. Krusic, Joseph San Filippo, Jr. J. Am. Chem. Soc. 1977, 99, 250

ハロゲン化アリール

$$L_2Pd(0) + \bigvee_{PdL_2} X \longrightarrow \bigvee_{PdL_2} X \longrightarrow \bigvee_{PdL_2} X$$

- ・ ベンゼン環がPdIこη²-配位、C-X結合に金属が挿入する。
- Ar-Xでは2電子酸化を含む3中心の遷移状態(Meisenheimer錯体)を経由。
 Hammettのρ値 (+5.2):芳香族求核置換反応 (S_NAr) 反応と類似。
 反応性 X = I > Br > Cl (S_NArとは逆の傾向)
- 配位不飽和錯体 12電子錯体(LPd)、14電子錯体(L₂Pd)が高活性

$$R_3P-Pd-PR_3 \longrightarrow R_3P-Pd \longrightarrow R_3P-Pd \xrightarrow{Ar} R_3P \longrightarrow R_3P-Pd \xrightarrow{Br} Pd \xrightarrow{Br} Pd \xrightarrow{PR_3} R = t-Bu, o-tol$$



極性溶媒中

$$(PPh_3)_3Pd$$
 \longrightarrow $(PPh_3)_2Pd$ \longrightarrow $(Ph_3P)_2Pd$ \longrightarrow $(Ph_3P)_$

C. Amatore, A. Jutand, Acc. Chem. Res., 2000, 33, 314

水素-ヘテロ原子結合の酸化的付加

H-O結合

Casalnuovo (1986)
$$[Ir(PMe_3)_4]^+PF_6^- \xrightarrow{H_2O} \xrightarrow{Me_3P} \xrightarrow{PMe_3} \xrightarrow{PMe_3}$$
Milstein (2002)
$$(C_8H_{14})IrCl(PPMe_3)_3 \xrightarrow{MeOH} \xrightarrow{Me_3P} \xrightarrow{PMe_3} \xrightarrow{MeOH} \xrightarrow{Me_3P} \xrightarrow{PMe_3} \xrightarrow{PMe_3}$$

H-N結合

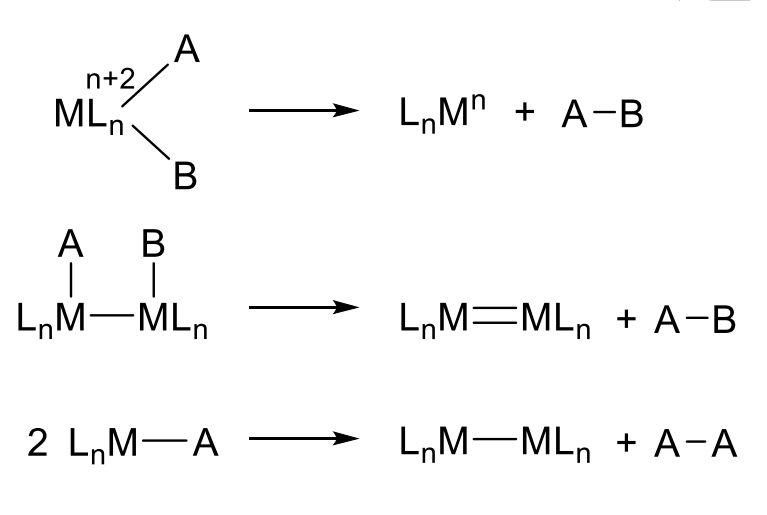
Hartwig (2005)

$$\begin{array}{c|c} PtBu_2 & \\ \hline | Ir & \\ \hline | Ir & \\ \hline | PtBu_2 & \\ \hline | PtBu_$$

Casalnuovo (1988)

$$(C_8H_{14})IrCl(PMe_3)_3$$
 NH_2Ph
 Me_3P
 Ir
 PMe_3
 CI

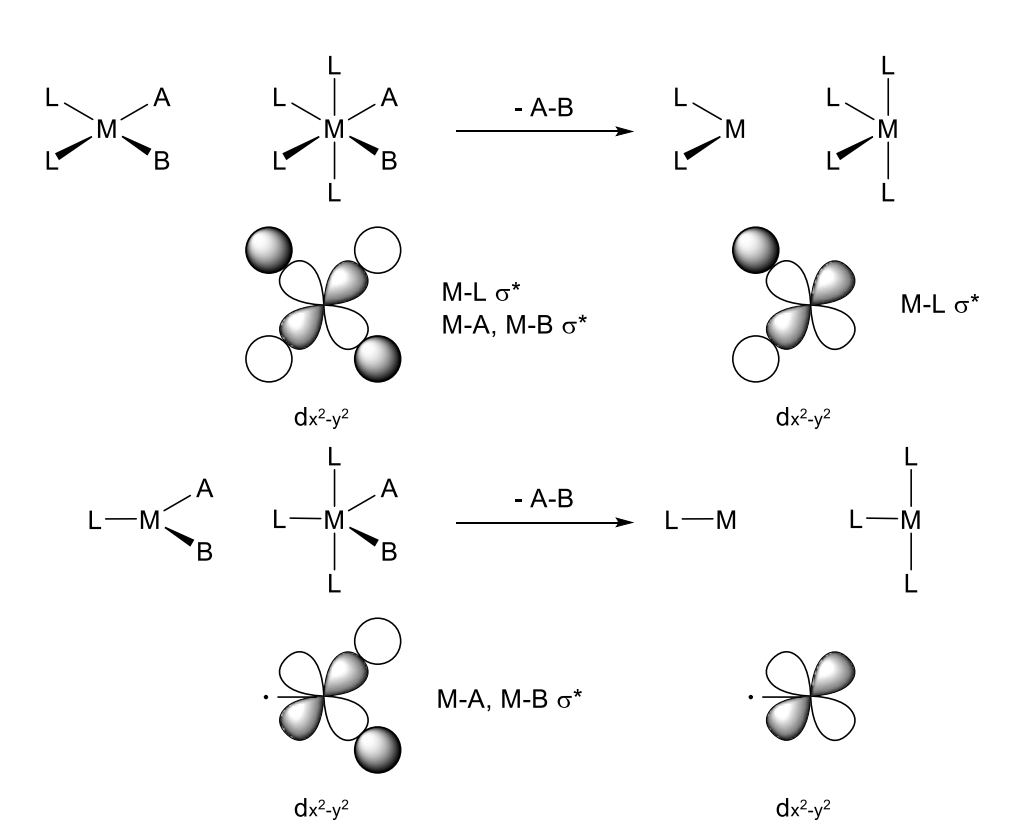
還元的脫離



- 第1周期 > 第2周期 > 第3周期
- ・ 電子欠損性錯体の方が速い(配位子が電子求引性) d⁰からd²への還元的脱離はd⁶らd⁸への還元的脱離 進行よりも進行しにくい。

Zr(IV)からの還元的脱離はほとんど観察されない。

- ・ 立体的に嵩高い配位子を有する錯体の方が速い
- 水素 (C-H) > アルキル (C-C)
- · cisの立体化学が必要

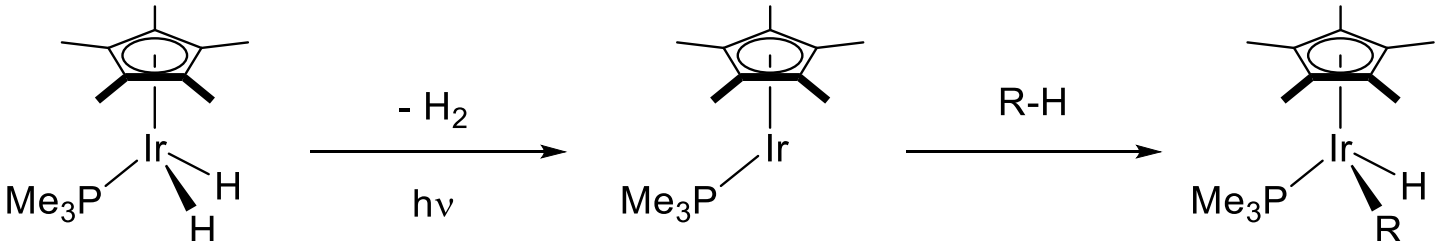


3配位、5配位錯体からの還元脱離の方が、4配位、6配位錯体よりも速い。

4配位、6配位錯体では、還元的脱離によって2電子がM-L反結合性軌道に入る。一方、3配位三角平面型、5配位三角両錐型錯体では、2電子が非結合性軌道に収容される。

還元的脫離 反応例





Andrew H. Janowicz and Robert G. Bergman, J. Am. Chem. Soc. 1983, 105, 3929

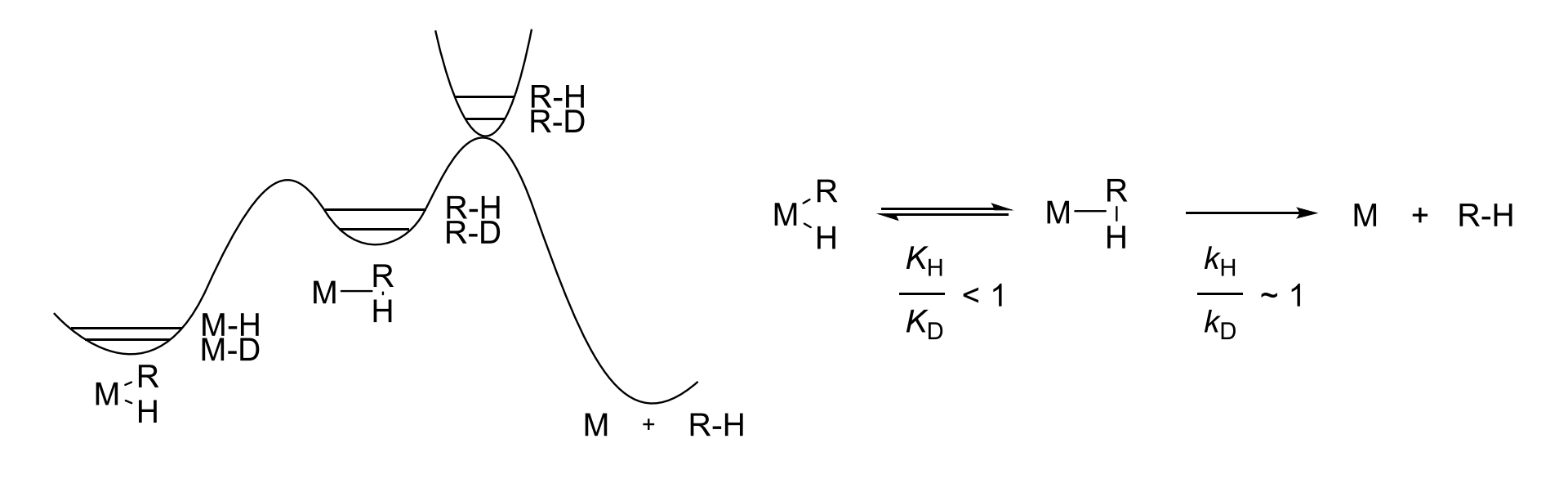
David A. Wink and Peter C. Ford, J. Am. Chem. Soc. 1986, 108, 4838

炭化水素

R. G. Bergman, J. Am. Chem. Soc. 1986, 108, 1537

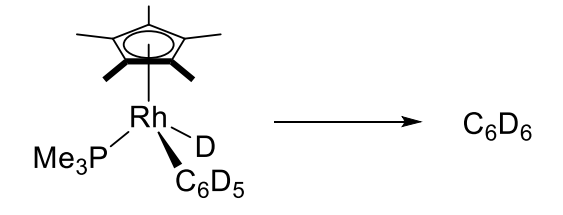
逆同位体効果

逆同位体効果はアルカン中間体によって説明される



アレーン-ヒドリド錯体

ホスフィンの効果



PR ₃	cone angle	T, °C	k, s ⁻¹	ΔG^{\ddagger} , kcal mol ⁻¹
PMe ₃	118	23	3.35 x 10 ⁻⁷	26.1
PMe ₂ Ph	122	23	1.05 x 10 ⁻⁶	25.4
PMePh ₂	136	24.5	1.11 x 10 ⁻⁵	24.2
PPh_3	145	23	3.85 x 10 ⁻⁴	21.9
PMe ₂ (tBu)	139	24.5	6.6 x 10 ⁻⁶	24.5
PMe ₂ (<i>n</i> Bu)	123	24.5	1.25 x 10 ⁻⁵	24.1
$P(nBu)_3$	132	24.5	2.4 x 10 ⁻⁶	25.1

J. Halpern, J. Am. Chem. Soc. 1978, 100, 2915

$$(tBu)_2$$
P
P
$$tBu$$
room temp.

2座ホスフィンの効果

Peter Hofmann, Angew. Chem. Int. Ed. Engle. 1990, 29. 880

C-C 結合の還元的脱離

C(sp³)-C(sp³)の還元的脱離は遅いが、C(sp²)-C(sp²)結合は速やかに進行する。

アリール錯体はアルキル錯体よりも熱力学的に安定。反応速度の差は遷移状態の違いに由来する。 1)アリール-ビニルカップリングはアルキル-アルキルよりも立体的に有利。

- 2)s性が増加するのでアルキルよりもアリールの方が、結合の方向性の寄与が小さく、三中心の遷 移状態で軌道が重なりやすい。
- 3)生成物が金属に配位できる

電子的効果

Pdアリール - アルキル錯体からの還元的脱離は錯体の濃度に1次、DPPBzには0次。ホスフィンが配位した5配位錯体からの還元的脱離は除外できる。DPPBzは強固に結合しているので、4配位錯体からの還元的脱離

Pt(0) + Ar-Ar

$$R = NMe_2 > CH_3 > H > OMe > CI > CF_3$$

$$Ph_2$$

$$Ph_2$$

$$Ph_2$$

$$Ph_2$$

$$Ph_3$$

$$R = CF_3 > CI > CH_3 > OMe, NMe_2 > H_3$$

$$R = CF_3 > CI > CH_3 > OMe, NMe_2 > H_3$$

J. F. Hartwig, J. Am. Chem. Soc. 2004, 126, 13016

立体的効果

A. Yamamoto, J. Organomet. Chem. 1980, 192, 265

4配位or3配位、5配位

$$Cy_3P$$
 Pt Cy_3P Pt $+ PCy_3$ $+ PCy_3$

ハロゲン化アルキルの還元的脱離

Melは速度論的、MeMeは熱力学的生成物。

- ・過剰のヨウ素を添加するとMeIが生成
- •Ag塩でヨウ素を除くと、MeMeが生成

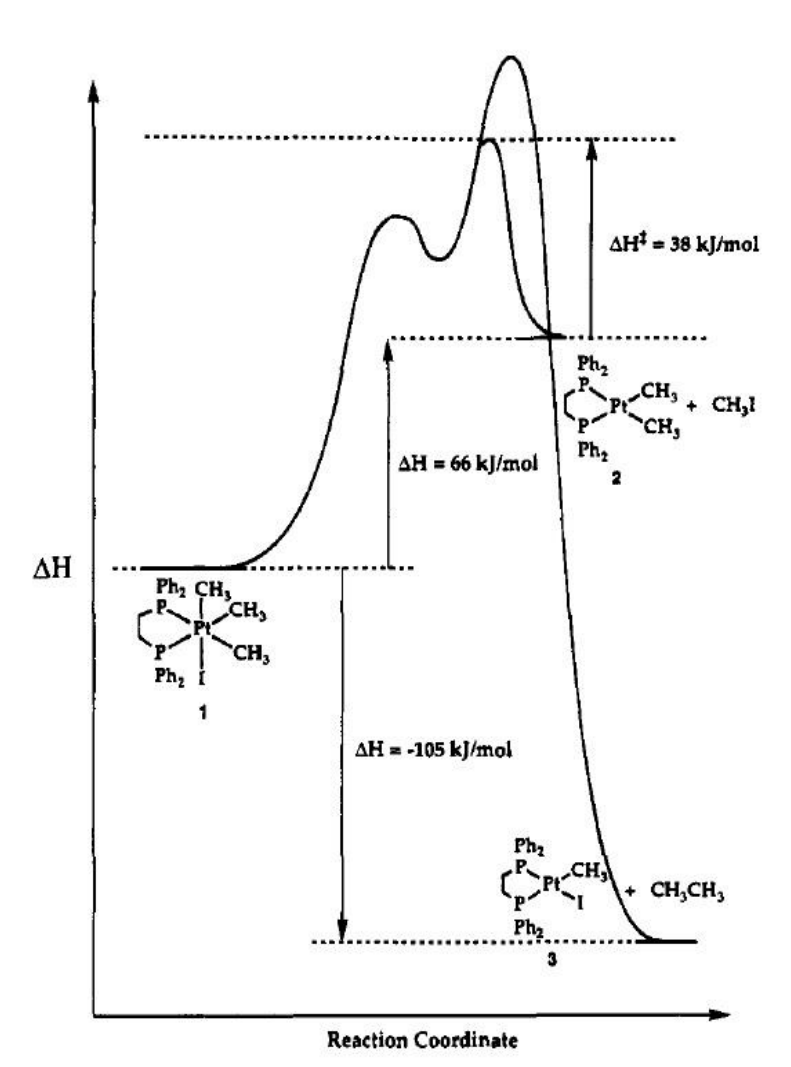


Figure 9. Reaction energy profile for the conversion of 1 to 2/MeI and 3/CH₃CH₃.

炭素-ヘテロ原子の還元的脱離

Ph₂
Pd
Ph₃

$$50 - 95 \,^{\circ}\text{C}$$
Ph-SR + (DPPE)₂Pd + (PPh₃)_nPd
rate : R = alkenyl > phenyl > methyl
pp = DPPF > DPPP > DPPE
J. F. Hartwig, J. Am. Chem. Soc. 1998, 120, 9205-

Ar = Mes

John M. Brown, Chem. Commun. 1999, 63

トリフルオロメチル基の還元的脱離

M. S. Sanford et al. J. Am. Chem. Soc. 2011, 133, 7577